

東海大学海洋学部 正員・北原道弘
京都大学工学部 正員 丹羽義次, 広瀬壯一
運輸省 正員 池田秀文

1. はじめに

本報告は半無限地盤内構造物の波動問題の解析に積分方程式法を応用するものであり、研究の特徴を列挙すると次のようになります。

- 半無限境界上では構造物の存在により生じる散乱波 $U_S = U_I - U_I' - U_R$ 及び $t_S = t_I - t_I'$ について積分方程式を立てます。地下構造物と地盤の境界上では全変位 U 及び全表面力 t について積分方程式を立てます。 $(U_I: 入射波, $U_R:$ 反射波, $U_S:$ 散乱波)$
- Rayleigh 波を考慮した半無限要素¹⁾を用います。
- 2 次アイソパラメトリック要素を用います。
- 低周波数域²⁾の特異性を解析的に除去します。

上記 4 点を考慮し、半無限弾性体中に空洞、周囲とは異質の弾性体、および流体が存在するモデルを考え、フーリエ変換法を用いて非定常応答解析を試みた。

2. 定式化

Fig.1 に示すようなモデルを考え、 U_I を入射波、 U_R を半無限境界 (∂D_2) 上の反射波、 U_S を構造物の存在により生じる散乱波とします。即ち、全変位 U 及び全表面力 t を次のように表現します。

$$\begin{aligned} U &= U_I + U_R + U_S \doteq U_I' + U_S \\ t &= t_I + t_R + t_S \doteq t_I' + t_S \end{aligned} \quad (1)$$

ここに、 U_I' 及び t_I' は入射波 U_I が与えられれば定まる量である。散乱波 U_S が放射条件を満足すること、及び、 U_I' が D_2 上正則であることを考慮すると、 U_S 及び t_I' について次の積分表現を得る。

$$\begin{aligned} \int_{\partial D_1 \cup \partial D_2} U(x, y) t_S(y) dS_y - \int_{\partial D_1 \cup \partial D_2} T(x, y) U_S(y) dS_y \\ = \begin{cases} U_S(x) & x \in D_e \\ 0 & x \in D_e^c \end{cases} \end{aligned} \quad (2)$$

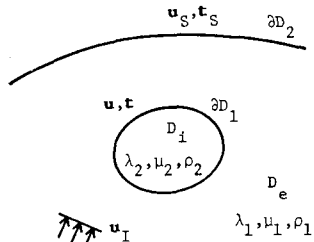


Fig.1 Inclusion and semi-infinite boundary

$$\begin{aligned} \int_{\partial D_1} T(x, y) U_I'(y) dS_y - \int_{\partial D_1} U(x, y) t_I'(y) dS_y \\ = \begin{cases} U_I'(x) & x \in D_e \\ 0 & x \in D_e^c \end{cases} \end{aligned} \quad (3)$$

式(2), (3)より、内部境界 (∂D_1) 上の U , t 及び半無限境界 (∂D_2) 上の U_S , t_S に関する次の積分表現を得る。

$$\begin{aligned} \int_{\partial D_1} U(x, y) t_S(y) dS_y + \int_{\partial D_2} U(x, y) t_S(y) dS_y \\ - \int_{\partial D_1} T(x, y) U_S(y) dS_y - \int_{\partial D_2} T(x, y) U_S(y) dS_y \\ = \begin{cases} U(x) - U_I'(x) & x \in D_e \\ -U_I'(x) & x \in D_e^c \end{cases} \end{aligned} \quad (4)$$

$$= \begin{cases} U(x) - U_I'(x) & x \in D_e \\ -U_I'(x) & x \in D_e^c \end{cases} \quad (5)$$

$$= \begin{cases} 0 & x \in (D_e \cup D_e^c)^c \end{cases} \quad (6)$$

境界上の積分方程式は式(5), (6)より次のようになり得られます。

$$\begin{aligned} \int_{\partial D_1} U(x, y) t_S(y) dS_y + \int_{\partial D_2} U(x, y) t_S(y) dS_y \\ - \int_{\partial D_1} T(x, y) U_S(y) dS_y - \int_{\partial D_2} T(x, y) U_S(y) dS_y \\ = \begin{cases} U(x) - U_I'(x) & x \in \partial D_1 \\ U(x) & x \in \partial D_2 \end{cases} \end{aligned} \quad (7)$$

$$= \begin{cases} U(x) - U_I'(x) & x \in \partial D_1 \\ U(x) & x \in \partial D_2 \end{cases} \quad (8)$$

式(7), (8)を与えられた入射波 U_I について解けば、 ∂D_1 上の U , t 及び ∂D_2 上の U_S , t_S が求まり、 D_e 内の場合は(4)により定まる。また、解析の対象となる各モデルに適する連続条件と境界条件は次のようである。

内部境界 ∂D_1 上

$$D_e \text{ が空洞} : t^e = 0$$

$$D_e \text{ が弾性体} : U^e = U^i, t^e = -t^i$$

$$D_e \text{ が流体} : U^e \cdot n^e = (-\pi^i) \cdot \nu P^i / \rho w^2$$

$$t^e = \pi^i n^i \quad (P^i \text{ は液体圧})$$

半無限境界 ∂D_2 上

$$\text{各モデルについて} \quad t^e = 0.$$

3. 数値解析例

“はじめに”で述べた4置(i)~(iv)を行ない、上記各モデルに対する変形、応力特性を検討した。4置(i)により、 U_S について半無限境界上 Rayleigh 波を考慮した半無限要素(4置(ii))と接続が可能となり、4置(iv)により境界上の接線応力の精度が向上し、また4置(iv)により低周波数域での解が安定する。Table 1 は定常解の

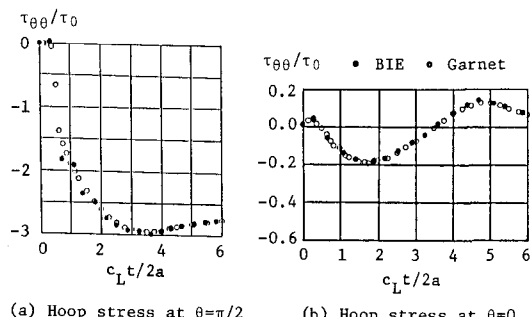
精度をチェックしたものである。モデルは無限体中の空洞(半径 a)に SV 波が入射したものであり、空洞周上の半径方向の変位と周方向の変位を Mow & Mente の解²⁾と比較したものである。これより、有効数4ヶタの精度が保証されることはわかる。なお、Mow & Mente の解は文献2)に示された変位の級数表現より15項を取り、計算したものである。非定常解のチェックを行なったものが Fig. 2 である。モデルは無限体中の空洞に応力緩和波(振幅 τ_0 を持つ P 波)が入射したもの

であり、空洞周上の接線応力と変位の時間的変化を Garnet & Crouzet-Pascal の解³⁾及び Baron & Parnes の解⁴⁾と比較したものである。本手法による解と Garnet & Crouzet-Pascal の解がよく一致していることがわかる。Fig. 3 は半無限弾性体中に、より剛な弾性体($\lambda_2 = \lambda_1$, $\mu_2 = 4\mu_1$, $p_2 = p_1$, $\nu_2 = \nu_1 = 0.25$)が存在する場合の各時間ステップ⁷⁾における変形と接線応力を示している。入射波は SV 波であり、入射角は 33.75° である。他の解析例及び詳細については当日報告する。

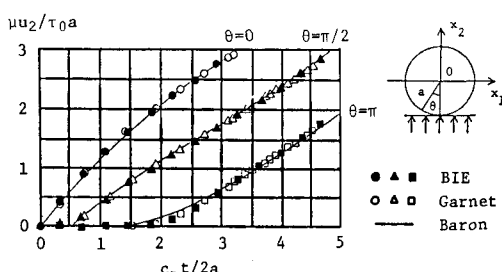
参考文献

- 1) 木下、小林、西村；第36回年講、pp.527~528, S.56.
- 2) Mow, C.C. & Mente, L.J.; J. Appl. Mech., Vol. 30, pp. 598~604, 1963.
- 3) Garnet, H. & Crouzet-Pascal, J.; J. Appl. Mech., Vol. 33, pp. 521~531, 1966.
- 4) Baron, M.L. & Parnes, R.; J. Appl. Mech., Vol. 29, pp. 385~395, 1962.

| θ deg. | $ u_x / u_I $ | | $ u_y / u_I $ | |
|------------------|---------------|-----------|---------------|-----------|
| | BIE | Mow&Mente | BIE | Mow&Mente |
| 0 | 0.0001 | 0.0000 | 0.8260 | 0.8260 |
| 15 | 0.4504 | 0.4504 | 0.7189 | 0.7189 |
| 30 | 0.6886 | 0.6886 | 0.5921 | 0.5921 |
| 45 | 0.6266 | 0.6266 | 0.7780 | 0.7779 |
| 60 | 0.4832 | 0.4832 | 1.0150 | 1.0149 |
| 75 | 0.7804 | 0.7804 | 1.0087 | 1.0086 |
| 90 | 1.2290 | 1.2291 | 0.7098 | 0.7096 |
| 105 | 1.4984 | 1.4985 | 0.2489 | 0.2489 |
| 120 | 1.5055 | 1.5056 | 0.4060 | 0.4059 |
| 135 | 1.2877 | 1.2878 | 0.8666 | 0.8666 |
| 150 | 0.9234 | 0.9234 | 1.2120 | 1.2121 |
| 165 | 0.4790 | 0.4791 | 1.4190 | 1.4190 |
| 180 | 0.0000 | 0.0000 | 1.4878 | 1.4878 |

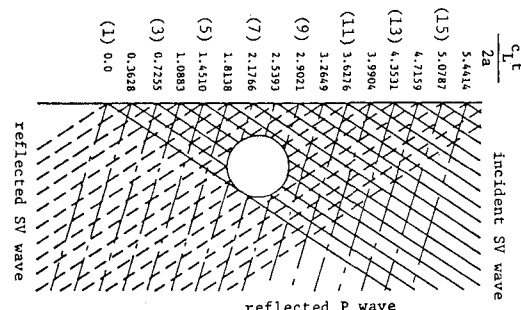


(a) Hoop stress at $\theta=\pi/2$ (b) Hoop stress at $\theta=0$

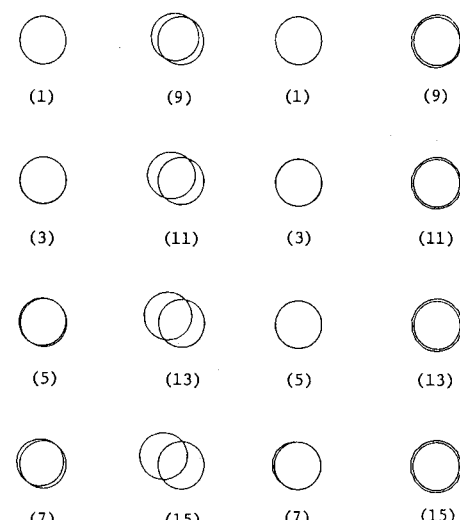


(c) Displacements (u_2) at $\theta=0$, $\pi/2$ and π

Fig. 2 Transient stresses and displacements



(a) Wave fronts of incident and reflected waves



(b) Deformation (μ_2/τ_{0a}) (c) Hoop stress τ_{00}/τ_0

0.0 20.0

Fig. 3 Transient deformations and stresses